

Math-Net.Ru

Общероссийский математический портал

А. А. Башарин, Н. Л. Меньших, Сверхмедленные поверхностные плазмоны в волноводах из метаматериалов, *Письма в ЖЭТФ*, 2011, том 93, выпуск 12, 770–773

Использование Общероссийского математического портала Math-Net.Ru подразумевает, что вы прочитали и согласны с пользовательским соглашением

<http://www.mathnet.ru/rus/agreement>

Параметры загрузки:

IP: 18.219.107.243

10 января 2025 г., 17:22:48



Сверхмедленные поверхностные плазмоны в волноводах из метаматериалов

A. A. Башарин^{△1)}, Н. Л. Меньших[□][△]Институт теоретической и прикладной электродинамики РАН, 125412 Москва, Россия[□]Московский физико-технический институт, 141700 Долгопрудный, Московская обл., Россия

Поступила в редакцию 18 марта 2011 г.

Рассмотрен модифицированный планарный волновод на основе метаматериала с отрицательными значениями диэлектрической и магнитной проницаемостей. Благодаря модернизации волновода путем введения воздушного канала, его дисперсионные характеристики качественно изменяются из-за появления сверхмедленной моды. Исследованы поля и свойства этой моды. Выявлено, что такая мода аналогична поверхностному плазмону. Кроме того, показано, что плазмоны могут распространяться в волноводах, размеры которых значительно меньше длины волны. Такие сверхмедленные плазмоны могут найти применение в плазмонике, в СВЧ и ускорительной технике.

Введение. В последнее время возрос интерес к так называемым левым средам или метаматериалам. Впервые их свойства были предсказаны В.Г. Веселаго [1] около 40 лет назад. Своим вторым рождением они обязаны работам Pendry [2]. В большом числе публикаций рассматриваются устройства на основе таких сред.

В частности, много работ посвящено изучению свойств волноводов на основе метаматериалов. Так, дисперсионные характеристики однослойного волновода из диэлектрика, помещенного в однородную левую среду, рассматривались в работе [3]. Авторы обратили внимание на существование в такой структуре волны с большим замедлением. Она возникает при условии, что модуль показателя преломления метаматериала больше, чем диэлектрика. Поля этой волны сосредоточены вдоль границ волновода и экспоненциально убывают по обе стороны от них. Дисперсионные характеристики однослойного волновода из метаматериала были рассмотрены нами ранее в работе [4]. Там же были изучены поля волноводных мод при наличии потерь в метаматериале. Существование сверхмедленной волны в однослойном волноводе теоретически исследовал Шевченко [5]. Впервые такая мода была найдена ранее авторами работы [6] для изотропного волновода и в работах [7, 8] для антитропного.

Видимо, впервые поверхностные плазмоны, возникающие на границах раздела правой и левой сред, теоретически предсказаны Алю и Энгетой [9], а возникающие в волноводе, состоящем из правой и левой среды, – Нефедовым и Третьяковым [10].

Волны с большим замедлением наблюдались не только в планарных волноводах, но и в других струк-

турах. Например, в работе [11] такая волна была обнаружена в четырехслойном круглом волноводе в присутствии слоя из метаматериала и гиromагнитного слоя. Кроме того, сверхмедленная мода является собственной модой многослойного планарного волновода со слоем из среды с нулевыми материальными параметрами [12].

Исследование вопроса о существовании и свойствах волн с большим коэффициентом замедления в волноводе может быть очень полезным для плазмоники [13], СВЧ и ускорительной техники. Например, такая структура может быть использована в качестве замедляющей системы для исследования взаимодействия медленных частиц с СВЧ-полем [14].

В данной работе предложена модификация однослойного планарного волновода из метаматериала путем встраивания узкого канала в центре волновода. За счет этого в дисперсионных характеристиках такого волновода появилась “наномода”, аналогичная поверхностному плазмону, с большим коэффициентом замедления. Аналогично работе [3], под “nano” здесь подразумевается, возможность локализации плазмона в волноводе с размерами, гораздо меньшими длины волны. При работе волновода в оптическом диапазоне приставка “nano” вполне оправдана.

Однослойный волновод. Рассмотрим планарный однослойный волновод. Аналогично работе [6], обозначим параметры метаматериала через ϵ_1 и μ_1 , а параметры окружающего пространства – через ϵ_2 и μ_2 . Выразим поля ТМ-волн в волноводе через электрический вектор Герца, опуская временнюю множитель $\exp(-i\omega t)$:

$$\Pi_z^e = A \sin(k_1 x) \exp(i h z) \quad \text{для } |x| < a, \quad (1)$$

$$\Pi_z^e = C \exp(-k_2 |x|) \exp(i h z) \quad \text{для } |x| > a,$$

¹⁾ e-mail: Alexey.basharin@gmail.com

$$\begin{aligned} E_x &= \frac{\partial}{\partial x} \left(\frac{\partial \Pi_z^e}{\partial z} \right), \\ E_z &= k_0^2 \varepsilon \mu \Pi_z^e + \frac{\partial}{\partial z} \left(\frac{\partial \Pi_z^e}{\partial z} \right), \\ H_y &= ik_0 \varepsilon \frac{\partial \Pi_z^e}{\partial x}, \end{aligned} \quad (2)$$

где A, C – константы.

Используя граничное условие для тангенциальных компонент полей на границе волновода, вычисленных по формуле (2), получаем дисперсионное уравнение следующего вида:

$$k_2 a = k_1 a \frac{\varepsilon_2}{\varepsilon_1} \operatorname{tg}(k_1 a), \quad (3)$$

где

$$\begin{aligned} k_1 &= \sqrt{k_0^2 \varepsilon_1 \mu_1 - h^2}, \\ k_2 &= \sqrt{h^2 - k_0^2 \varepsilon_2 \mu_2}, \end{aligned} \quad (4)$$

a – размер волновода, h – продольное волновое число.

Используя условие непрерывности продольного волнового числа h , из (4) получим

$$(k_1 a)^2 + (k_2 a)^2 = (k_0 a)^2 (\varepsilon_1 \mu_1 - \varepsilon_2 \mu_2) > 0. \quad (5)$$

Данное дисперсионное уравнение решалось при следующих параметрах: $\varepsilon_2 = \mu_2 = 1$, $\mu_1 = -1$. В зависимости от диэлектрической проницаемости метаматериала мы получаем две дисперсионные характеристики, представленные на рис. 1.

Из графиков видно, что в случае, когда модуль коэффициента преломления в метаматериале ($n_1 = \sqrt{\varepsilon_1 \mu_1}$) меньше, чем в окружающем волновод пространстве ($n_2 = \sqrt{\varepsilon_1 \mu_2}$), т.е. $|n_1| < |n_2|$, в таком волноводе могут существовать сверхмедленные моды (буква А на рис. 1b). Согласно работам [5, 6], в зависимости от частоты уравнение (3) может не иметь решений, иметь одно или два решения, что мы и наблюдаем на графике (моды A и A' на рис. 1b). Обратим внимание на тот факт, что обе моды в волноводе из идеального метаматериала не имеют потерь. Поля H_y сверхмедленной (A) и медленной (A') волн представлены на вставках рис. 1b. От границ волновода поле спадает по экспоненциальному закону. Таким образом, вдоль поверхности рассматриваемого волновода распространяется поверхностный плазмон, аналогичный плазмону, возникающему в оптических волноводах на основе тонких пленок металлов [15, 16], лишь с тем отличием, что рассматриваемые нами плазмоны – сверхзамедленные.

По значению действительной части продольного волнового вектора обе волны являются медленными, но одна имеет коэффициент замедления, близкий к 1 (мода A'), а другая является сверхмедленной (мода A). Поток энергии волны A' положителен, что

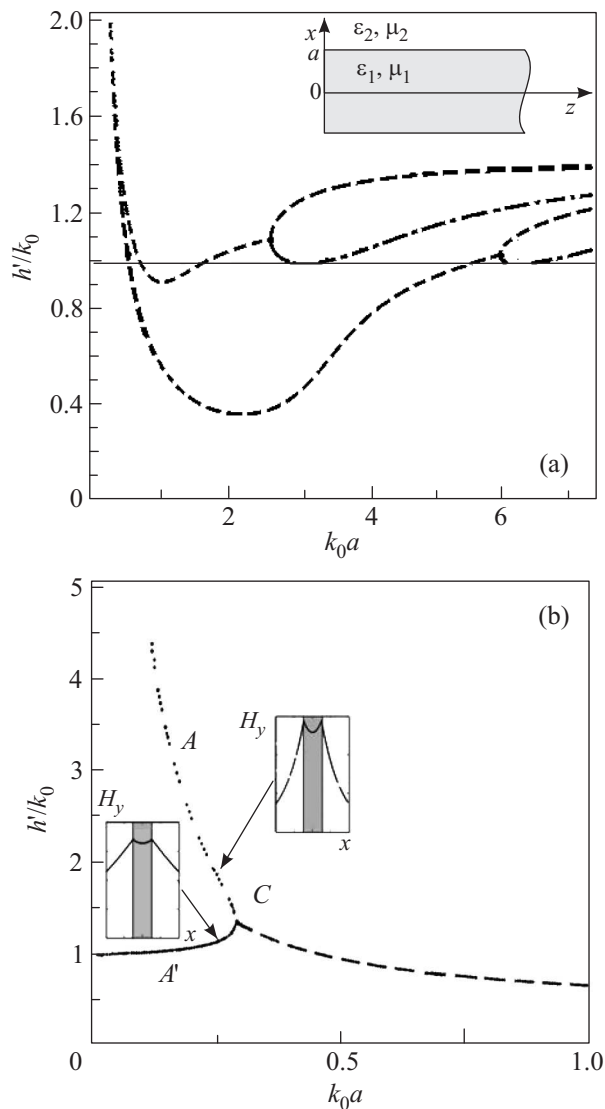


Рис. 1. Дисперсионные характеристики однослоиного волновода из метаматериала при $\varepsilon_1 = -2$ (1a) и $\varepsilon_1 = -0.5$ (1b). На вставках представлены поля H_y поверхностных плазмонов. Сплошная линия – прямая волна, штриховая линия – обратная волна, пунктир – антиповерхностная волна (вытекающая волна)

соответствует прямой волне. Поток энергии сверхмедленной волны A отрицателен. В соответствии с классификацией, принятой в [1, 6, 17, 18], она является обратной. Как упоминалось выше, медленные и обратные волны широко применяются в ускорительной технике для замедления частиц.

Волновод с узким каналом. Рассмотрим, что происходит при введении небольшого канала в волновод из метаматериала. Параметры волновода $\varepsilon_1 = \mu_1 = 1$, $\mu_2 = -1$, $\varepsilon_2 = -2$, $a = b/20$. Окружающее волновод пространство – вакуум. Как и в случае однослоиного волновода, поля выражим через вектор

Герца. Для четных ТМ-волн имеем следующие выражения для потенциалов Герца:

$$\begin{aligned}\Pi_z^e &= A \sin(k_1 x) \exp(i h z) \text{ для } |x| < a, \\ \Pi_z^e &= B \sin(k_2 x) \exp(i h z) + C \cos(k_2 x) \exp(i h z) \\ &\text{для } a < |x| < b, \\ \Pi_z^e &= D \exp(-k_3 |x|) \exp(i h z) \text{ для } |x| < a,\end{aligned}\quad (6)$$

где A, B, C, D – константы,

$$\begin{aligned}k_1 &= \sqrt{k_0^2 \varepsilon_1 \mu_1 - h^2}, \\ k_2 &= \sqrt{k_0^2 \varepsilon_2 \mu_2 - h^2}, \\ k_3 &= \sqrt{h^2 - k_0^2 \varepsilon_1 \mu_1}.\end{aligned}\quad (7)$$

Из граничных условий для тангенциальных компонент поля, вычисленных с помощью потенциалов Герца (5) по формулам (2), получим дисперсионное уравнение:

$$\det \begin{bmatrix} -k_1^2 \sin(k_1 a) & k_2^2 \sin(k_2 a) & k_1^2 \cos(k_1 a) & 0 \\ -k_1 \varepsilon_1 \cos(k_1 a) & k_2 \varepsilon_2 \cos(k_2 a) & -k_2 \varepsilon_2 \sin(k_2 b) & 0 \\ 0 & k_1^2 \sin(k_2 b) & k_2^2 \cos(k_2 b) & k_3^2 \exp(-k_3 b) \\ 0 & k_2 \varepsilon_2 \cos(k_2 b) & -k_2 \varepsilon_2 \sin(k_2 b) & k_3 \varepsilon_3 \exp(-k_3 b) \end{bmatrix} = 0. \quad (8)$$

Решение дисперсионного уравнения (8) в зависимости от волнового числа в вакууме k_0 , умноженного на внешний размер волновода b , представлено на рис. 2. Видно, что с введением узкого канала в волноводе появляется сверхмедленная мода (мода A), несмотря на то что модуль коэффициента преломления в метаматериале ($n_2 = \sqrt{\varepsilon_2} \sqrt{\mu_2}$) больше, чем в окружающем пространстве ($n_1 = \sqrt{\varepsilon_1} \sqrt{\mu_1}$), т.е. $|n_2| > |n_1|$. Как и в случае однослоиного волновода, эта волна является обратной, т.е. групповая и фазовая скорости направлены противоположно. Однако теперь второй поверхностный плазмон – мода с меньшим замедлением (A' на рис. 2) – тоже является обратной волной.

На рис. 2 отмечены две точки, в которых наблюдаются интерференционные эффекты. Точка D , как и точка C на рис. 1б, является точкой бифуркации, и в ней наблюдается эффект продольного резонанса, который является результатом интерференции прямой и обратной волн. Такая же точка наблюдалась в однослоином планарном [4, 6, 7, 8, 19] и круглом [20] волноводах. Однако в точке E (рис. 2) происходит объединение двух обратных медленных волн, в результате чего появляется новая обратная медленная волна, имеющая потери.

Поля обоих плазмонов по-прежнему сосредоточены вдоль внешних границ волновода (вставки к рис. 2). Так как мода A существует даже на очень

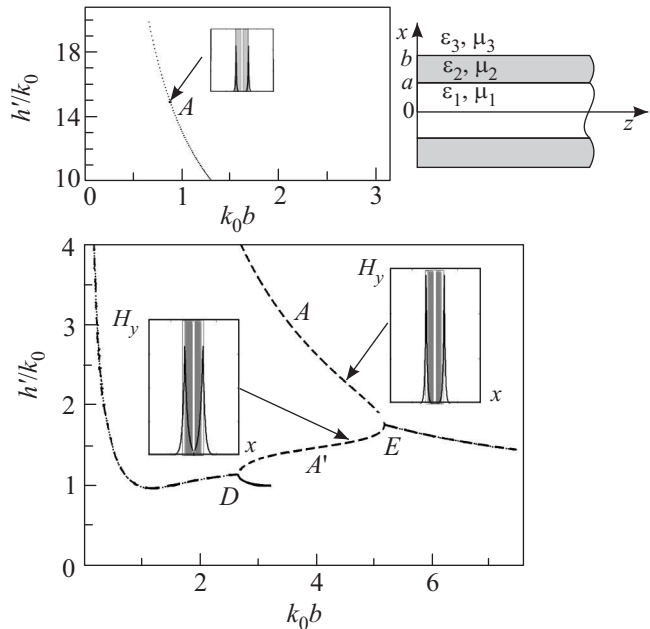


Рис. 2. Дисперсионные характеристики двухслойного волновода из метаматериала при $b = 20a$, $\varepsilon_2 = -2$. На вставках представлены поля H_y поверхностных плазмонов. Сплошная линия – прямая волна, штриховые линии – обратная волна, штрих-пунктирные линии – волна с потерями. Справа вверху – сечение многослойного волновода

низких частотах, поле сверхмедленного плазона локализуется в области, гораздо меньшей длины волны. Например, при $k_0 b = 1$ (см. вставку на рис. 2) размер волновода почти в 4 раза меньше длины волны, а значит, и поле сконцентрировано в пространстве, в 4 раза меньшем длины волны. Мы получаем моду, которая может распространяться ниже первой критической частоты.

При уменьшении внешнего размера волновода (рис. 3) точка бифуркации D (рис. 2) сдвигается в сторону более высоких частот (F на рис. 3). В результате при некотором соотношении размеров волновода объединение медленной и основной мод исчезает, как и расщепление основной моды. Во всем частотном диапазоне существуют сверхмедленная мода без потерь (мода A на рис. 3) и основная мода с потерями (мода B на рис. 3).

В случае наличия небольших потерь в метаматериале (рис. 4) все волны начинают распространяться с потерями. Отметим, что потери сверхмедленной моды (мода A) малы во всем частотном диапазоне, в котором она существует, по сравнению с другими волноводными модами (моды $B1$ и $B2$ на рис. 4).

Заключение. В работе исследованы дисперсионные характеристики планарных однослоиного и двухслойного волноводов. Показано, что в таких струк-

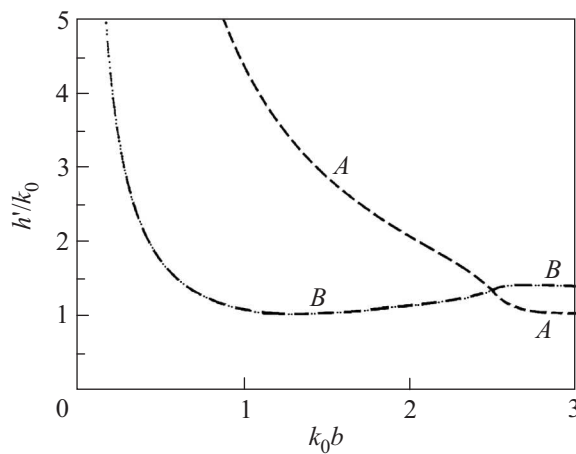


Рис. 3. Дисперсионные характеристики двухслойного волновода из метаматериала при $b = 8a$. Штриховая линия – обратная волна, штрих-пунктирная линия – волна с потерями

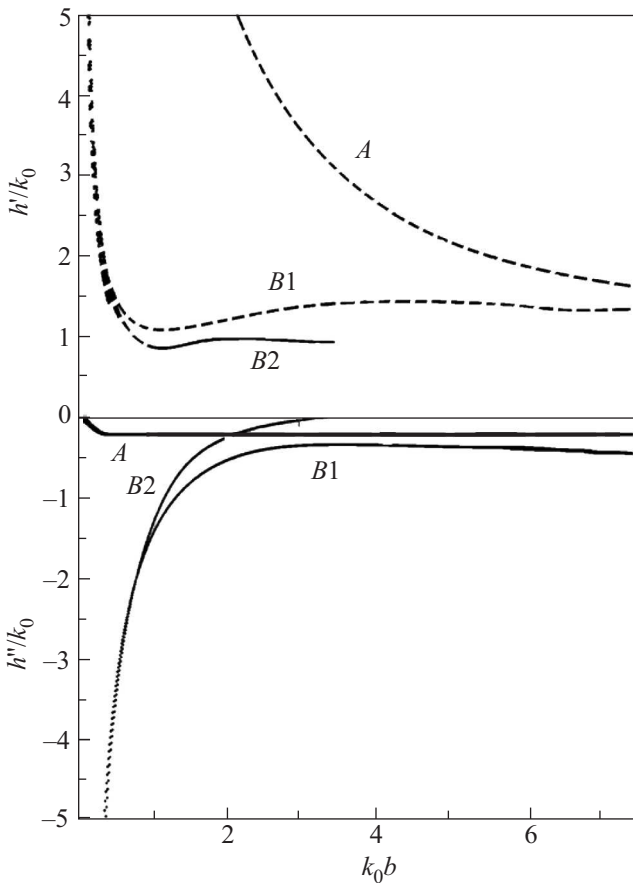


Рис. 4. Дисперсионные характеристики двухслойного волновода из метаматериала при $b = 20a$, при $\epsilon'' = 0.2$. Сплошная линия – прямая волна, пунктир – обратная волна

турах существуют сверхмедленные поверхностные плазмоны. Выяснено, что такие плазмоны могут существовать в волноводе, размеры которого много

меньше длины волны. В результате поле данной волны концентрируется в пространстве, намного меньшем длины волны. При введении потерь в метаматериал затухание этих волн достаточно мало. В силу сильного замедления существует широкий спектр задач, для которых такая волна может оказаться очень полезной.

Отметим, что реальные метаматериалы обладают сильной частотной дисперсией. Поэтому создать метаматериал с постоянными во всем рассматриваемом нами диапазоне частот проницаемостями невозможно. Однако для каждого небольшого участка частот можно создать метаматериал с заданными проницаемостями, и в нем будут наблюдаться указанные выше свойства.

1. В. Г. Веселаго, Успехи физ. наук **92**, 517 (1967).
2. J. B. Pendry, Phys. Rev. Lett. **85**, 3966 (2000).
3. Y. Satuby, N. Kaminsky, and M. Orenstein, J. Opt. Soc. Am. B **24**, A62 (2007).
4. А. А. Башарин, Н. Л. Меньших, Журнал радиоэлектроники **11**, 1 (2010).
5. В. В. Шевченко, Радиотехника и электроника **55**, 1052 (2010).
6. I. V. Shadrivov, A. A. Sukhorukov, and Y. S. Kivshar, Phys. Rev. E **67**, 057602 (2003).
7. W. T. Lu, Y. J. Huang, B. D. F. Banyal, and S. Sridhar, Appl. Phys. Lett. **96**, 211112 (2010).
8. W. T. Lu and S. Sridhar, Phys. Rev. A **82**, 013811 (2010).
9. A. Alu and N. Engheta, An Overview of Salient Properties of Planar Guided-Wave Structures with Double-Negative (DNG) and Single-Negative (SNG) Layers, Negative-Refraction Metamaterials: Fundamental Principles and Applications, G. V. Eleftheriades and K. G. Balmain (Ed.), IEEE Press, John Wiley and Sons Inc., Hoboken, NJ, 2005, Chapter 9, 339–380.
10. I. S. Nefedov and S. A. Tretyakov, Radio Sci. **38**, 1101 (2003).
11. В. А. Мещеряков, Ю. Н. Бидненко, Г. Е. Дунаевский, и др., Электронный журнал “Исследовано в России” **13**, 421 (2010). <http://zhurnal.ape.relarn.ru/articles/2010/037.pdf>
12. J.-F. Dong, J. Li, and F.-Q. Yang, Progress in Electromagnetic Research. **112**, 241 (2011).
13. D. K. Gramotnev and S. I. Bozhevolnyi, Nature photonics, **4**(2), 83 (2010).
14. S. Antipov, L. Spentzouris, W. Liu et al., J. of Appl. Phys. **102**, 034906 (2007).
15. B. Prade, J. Y. Vinet, and A. Mysyrowicz, Phys. Rev. B **44**, 13556 (1991).
16. E. N. Economou, Phys. Rev. **182**, 539 (1969).
17. В. В. Шевченко, Радиотехника и электроника **10**, 1768 (1969).
18. В. В. Шевченко, Успехи физ. наук **177**(3), 301, (2007).
19. A. A. Basharin, N. P. Balabukha, and V. N. Semenenko, Journal of Applied Physics **107**, 113301-1-5 (2010).
20. P. L. Overfelt, K. Helterman, S. Feng, and D. R. Bowring, J. of App. Phys. **108**, 124310 (2010).